

---

---

# Методы и устройства повышения качества передачи информации

---

---

УДК 621.396

## Программный комплекс имитации траектории воздушного объекта в трехмерном пространстве на основе кривых Безье

Кукунчиков А.Э., Жиганов С.Н., Михеев К.В., Жиганова Е.А., Романов Д.Н.

В работе приведено описание программно-аппаратного комплекса, обеспечивающего формирование траектории движения воздушного объекта в трехмерном пространстве на основе кривых Безье. Траектория движения формировалась с учетом допустимых перегрузок воздушного объекта. Комплекс был реализован в программной среде Labview.

*Ключевые слова:* траектория движения, кривая Безье, полиномы наилучшего приближения.

### Введение

Моделирование воздушной обстановки в зоне ответственности аэропортов, на трассе сопровождения воздушных объектов диспетчерами, перемещение военных воздушных объектов в условиях боя является необходимым составным элементом для создания систем тренажа и имитации современных радиолокационных станций и комплексов. Одним из наиболее важных элементов таких систем является формирование траектории воздушного объекта - задание кинематики движения, определяющей пространственное положение объекта в произвольно заданный момент времени [1-5]. При этом формируемая траектория движения должна обладать следующими свойствами:

1. обеспечивать изменение положения объекта в трехмерном пространстве;
2. учитывать допустимые нагрузки на воздушное судно и особенности его перемещения в пространстве;

Существует два способа моделирования траектории полета. В первом случае используются реальные навигационные данные, полученные на борту воздушного судна при его перемещении в пространстве: географическая широта; географическая долгота; угол сноса (УС); угол крена; угол тангажа; гироскопический курс; путевая скорость; приборная скорость. Эта информация с выходов навигационных датчиков запоминается в па-

мяти ЭВМ и, затем, на ее основе строится модель движения воздушных судов данного типа. Полученная этим методом модель движения полностью соответствует перемещению такого воздушного судна в пространстве. Однако, для реализации этого подхода требуется большой объем предварительного сбора данных и их анализ, при этом для каждого типа воздушного судна необходимо проводить свои измерения, что приводит к большим временным затратам по построению модели движения. Во втором случае для формирования траектории используется математические модели траекторий движения воздушных объектов на различных участках полета, которые с той или иной точностью описывают траекторию движения и в большей или меньшей степени учитывают кинематику движения объекта.

Целью представленной работы является построение модели траектории движения воздушного объекта в трехмерном пространстве с учетом кинематики его движения на основе кривых Безье.

### Математическая модель траектории

Траекторию движения объекта будем формировать в виде кусочно-заданной пространственной кривой, состоящей из плавно совмещаемых сегментов в виде кривых Безье преимущественно первого и третьего поряд-

ков с параметрическим представлением кривой по каждой из координат [7, 8]:

$$B(t) = \sum_{i=0}^n P_i B_i^n(t), \quad (1)$$

где  $n$  – степень кривой;  $i$  – порядковый номер опорной вершины;  $P_i$  – вектор координат  $i$ -й опорной точки по каждой из координат;

$$B_i^n(t) = \frac{n!}{i!(n-i)!} \cdot t^i \cdot (1-t)^{n-i} \quad - \quad \text{полином}$$

Бернштейна степени  $n$ ;  $t$  – безразмерный параметр, расположенный в интервале  $t \in [0;1]$ . Геометрическая форма каждого сегмента общей траектории задаётся на основе расположения  $n$  опорных точек ( $\{P_i\} = \{x_i, y_i, z_i\}$ ,  $i = 0 \dots n-1$ ), т.е. опорной ломаной линии с  $n$  узлами. Совокупность такого набора сегментов позволяет описать различные виды траекторий. Положение и геометрическое представление траектории движения объекта в пространстве плавно комплексировано из последовательно сопрягаемых сегментов. В соответствии с (1) производится расчёт параметрических уравнений движения в каждом сегменте по трём координатам  $x(t)$ ,  $y(t)$ ,  $z(t)$  в функции параметра  $t \in [0;1]$  и определяются минимальные значения радиусов кривизны траекторий, геометрическая траектория представляется непосредственно в системе координат объекта – зоны ответственности РЛС.

Смежные точки стыка на сопрягаемых сегментах необходимо выбирать так, чтобы получить в целом гладкую и гибкую пространственную траекторию, управляемую точками  $P_i$ , положение объекта на каждом сегменте которой определяется своим параметром  $t \in [0;1]$ , так и в последующем в реальном текущем масштабе времени  $t_p$ .

Рассмотрим пример построения гипотетической траектории движения объекта в трёхмерном пространстве. Координаты опорных точек траектории приведены в таблице 1.

Таблица 1. Опорные точки траектории

X	0	2	5	8	11	12
Y	0	2	-0.5	-3	-1	1
Z	0	4	2	0	-2	-1

По приведённым координатам строятся две кривые второго и третьего порядка (1). Кривая второго порядка строится по первым трём точкам с координатами (0; 0; 0), (2; 2; 4), (5; -0,5; 2) и описывается следующими выражениями:

$$\begin{aligned} x_1(t) &= t^2 + 4t, \\ y_1(t) &= -4,5t^2 + 4t, \\ z_1(t) &= -6t^2 + 8t. \end{aligned}$$

Кривая третьего порядка строится по четырём точкам с координатами (5; -0,5; 2), (8; -3; 0), (11; -1; -2), (12; 1; -1), причём точка с координатами (5; -0,5; 2) является общей и лежит на одной прямой с точками (2; 2; 4) и (8; -3; 0). Кривая третьего порядка описывается следующими выражениями:

$$\begin{aligned} x_2(t) &= -2t^3 + 9t + 5, \\ y_2(t) &= -4,5t^3 + 13,5t^2 - 7,5t - 0,5, \\ z_2(t) &= 3t^3 - 6t + 2. \end{aligned}$$

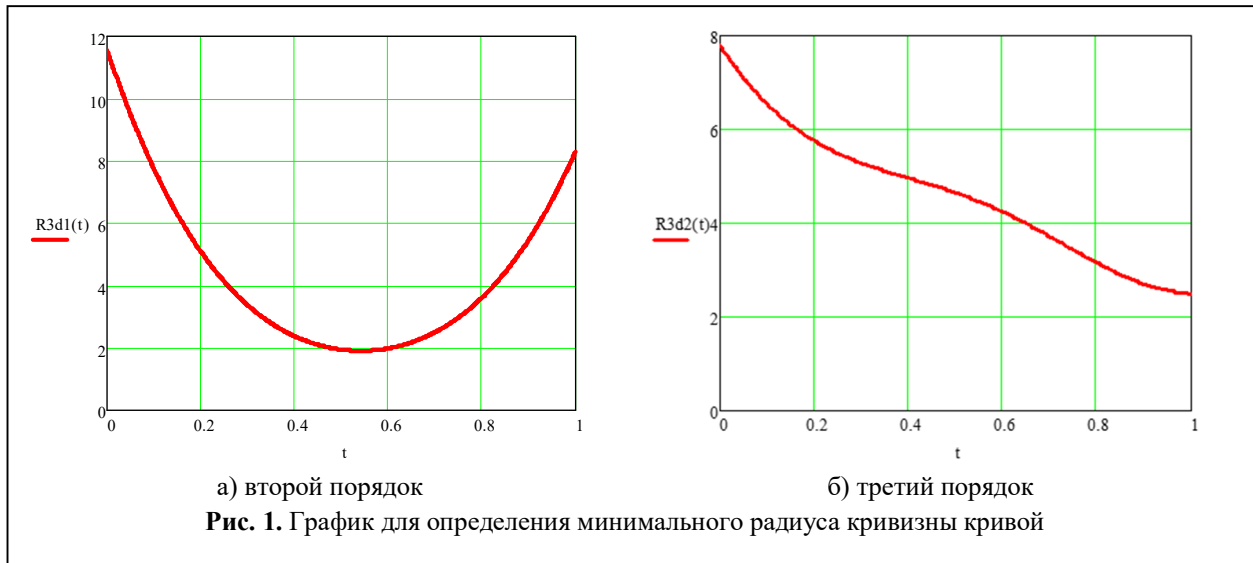
Переход объекта с прямолинейной на криволинейную траекторию и обратно не должен сопровождаться скачком центростремительной силы:

$$F_u = mV^2/R_k = ma = mgn_u, \quad (2)$$

где  $R_k$  – радиус кривизны;  $V$  – линейная скорость по кривой;  $gn_u$  – перегрузка;  $n_u$  – числовой коэффициент). Если известны допустимая перегрузка и линейная скорость объекта при его движении по криволинейной траектории, то можно рассчитать минимальный радиус кривизны дуги [9]:

$$R_{k \min} = V^2 / (gn_{u \max}). \quad (3)$$

Так, при скорости самолёта  $V = 1000$  м/с и максимальной переносимой пилотом перегрузке  $gn_{u \max} = 8g$  в соответствии с (3)  $R_{k \min} = 12,74$  км. Если  $R_{k \min}$  будет меньше, то необходимо менять опорные точки сопрягаемых сегментов траектории в (1), чтобы обеспечить более плавный переход или ввести кривые 4-й степени. Следует предусмотреть и запас на величину допустимого линейного ускорения, которое векторно суммируется с тангенциальным. При переходе с одной кривой Безье на другую плавное изменение радиуса кривизны обеспечивается



при непрерывности первой и второй производных сопрягаемых кривых.

Минимальный радиус кривизны дуги рассчитывается по выражению:

$$R = \frac{\sqrt{\left( (x'(t))^2 + (y'(t))^2 + (z'(t))^2 \right)^3}}{\sqrt{(a(t))^2 + (b(t))^2 + (c(t))^2}},$$

где  $a(t) = y'(t)z''(t) - y''(t)z'(t)$ ;  $b(t) = z'(t)x''(t) - z''(t)x'(t)$ ;  $c(t) = x'(t)y''(t) - x''(t)y'(t)$ .

Для кривых, построенных по опорным точкам таблицы 1, радиус кривизны имеет зависимость от параметра  $t$ , представленную на рис. 1.

Для графика, представленного на рис.1 а) минимальный радиус кривизны составляет 1,907. Для графика, представленного на рис. 1 б) минимальный радиус кривизны составляет 2,512. По полученным выражениям построена траектория, представленная на рис. 2.

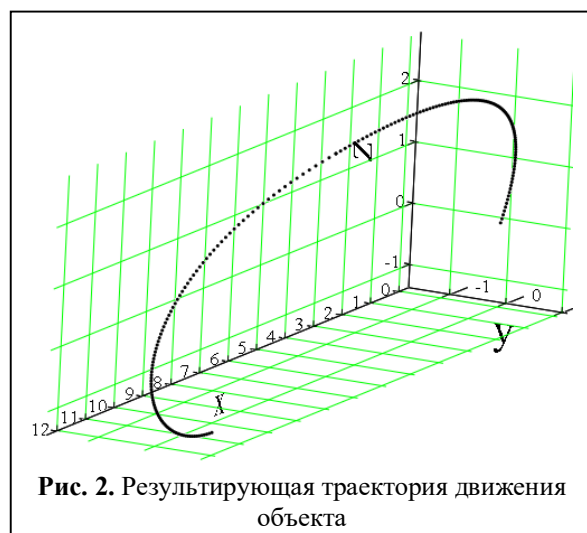
### Воспроизведение траекторий в реальном времени

Текущее реальное время представим в виде решётчатой функции  $t_p = kT_T$  с дискретом  $T_T$  и начальным значением  $T_{нач} = 0$ . Реальное время  $t_p$  и параметр  $t$  связывает пройденный в каждом сегменте путь  $S$ . Поэтому он является связующим для определения параметра  $t$ , подставляемого в параметрические уравнения (1) для воспроизведения текущих значений координат траектории в соответствии с

(2). Путь, пройденный по параметрически заданной кривой в пространстве (рис. 2), определяется формулой:

$$S(t) = \int_0^t \sqrt{(x'(t))^2 + (y'(t))^2 + (z'(t))^2} dt. \quad (4)$$

Из текущих, точных значений численного интегрирования выражения (4) для определения пути  $S_{max}$ , воспроизводится «эталонный» полином Ньютона для обратной функции  $t = g_{эТ}(S(t))$  с равномерным расположением узлов интерполяции (причём аргумент и функция меняются местами), выбирается примерно 5–8 дискретных значений функции  $t_i$  и соответствующие им значения аргумента  $S_i$  (узлов интерполяции полинома). С помощью полинома Ньютона 5–8 степени воспроизводится «эталонная» монотонно нарастающая функция  $t = g_{эТ}(S)$  с приведённой от-



носительной погрешностью порядка долей процента с последующей аппроксимацией её фактически полиномом наилучшего приближения Чебышева  $g(S) \cong g_{ЭТ}(S)$  более низкой степени. В полиноме для исключения скачков пути для границ интервалов (сегментов траектории) задаются значения: ( $t_0 = 0$ ,  $S_0 = 0$ );  $t_{\max} = 1$ ,  $S = S_{\max}$ ).

Для исключения скачков скорости и ускорения линейная скорость и ускорение в начале следующего сегмента движения должны быть равны скорости и ускорению в конце предшествующего сегмента. Текущее значение пути при равноускоренном движении по заданному отрезку прямой или кривой можно определить в соответствии с формулой  $S = Vt_p + at_p^2/2$ . После чего по аргументу – текущему пути  $S$  – с помощью полинома, аппроксимирующего обратную функцию  $t(S)$ , как и ранее определяется параметр  $t$ .

При комплексировании, стыковке отдельных сегментов траектории, форму сегмента, его длину – максимальное значение пути  $S_{\max}$  по сегменту – можно определять и варьировать при задании геометрической формы кривой. При назначенном значении начальной скорости величину ускорения, например, при равноускоренном движении можно изменять так, чтобы получить заданное время прохождения сегмента траектории.

Итак, в соответствии с параметрическими уравнениями каждого сегмента в функции параметра  $t$  вычисляется путь  $S_{\max}$ , пройденный по параметрически заданной кубической кривой в функции  $S(t)$ , воспроизводится обратная функция  $t(S)$  с последующей аппроксимацией её полиномом наилучшего приближения  $g(t)$ . По заданному закону воспроизведения скорости на заданном сегменте определяются текущее значение пройденного пути  $S(t_{p1})$  в функции текущего временного интервала  $t_{p1}$  от начала сегмента и времени движения по сегменту, время прохождения сегмента. По общему, связывающему параметру текущего пути  $S$  на сегменте осуществляется переход от времени  $t_{p1}$  к параметру  $t$  с последующей подстановкой его в

параметрические уравнения вычисления прямоугольных координат.

Предварительные действия оператора, направленные на проектирование модели движения и подготовительные расчёты обеспечивают в общем временном интервале формирование траектории движения, определяют моменты времени начала, продолжительности и окончания движения объекта по каждому сегменту. Это позволяет идентифицировать именно тот сегмент, по которому перемещается объект в момент времени  $t_p$  воспроизведения каждой траектории с присвоением ему порядкового номера. К каждому порядковому номеру сегмента привязывается его тип и таблица уравнений движения на заданном сегменте [10, 11].

### Заключение

Разработан метод наглядного, интуитивного формирования траекторий воздушных объектов из плавно сопрягаемых сегментов в системе координат зоны обзора РЛС. Обеспечен контроль перегрузок. В производственных системах при формообразовании обрабатываемых деталей геометрическая форма траектории движения рабочего органа привязывается к системе координат робототехнического комплекса или станка с числовым программным управлением, а скоростной режим движения определяется их динамическими характеристиками.

### Литература

1. Чекушкин В.В., Бобров М.С., Аверьянов А.М. Имитация траекторий движения воздушных объектов для радиолокационных систем управления и контроля воздушного пространства // Мехатроника, автоматизация, управление. 2009. № 9. С. 70–80.
2. Чекушкин В.В., Жиганов С.Н., Быков А.А., Михеев К.В. Воспроизведение траекторий движения объектов в системах контроля воздушного пространства // Мехатроника, Автоматизация, Управление. 2018. № 2. С. 126–133. DOI: 10.17587/mau.19.126-133.
3. Бобров М.С., Аверьянов А.М., Пискунов Г.Г., Чекушкин В.В. Реализация трасс движения воздушных объектов в тренажерно-моделирующих

системах // Вопросы радиоэлектроники. Серия ЭВТ. 2009. Вып. 4. С. 157–177.

4. Аверьянов А.М., Бобров М.С., Чекушкин В.В. Параметрическое задание кинематики движения воздушного объекта на участке маневрирования // Мехатроника, автоматизация, управление. 2010. № 5. С. 67–73.

5. Чекушкин В.В., Жиганов С.Н., Романов Д.Н., Ракитин А.В., Михеев К.В. Формирование траекторий движения объектов в информационно-измерительных системах контроля // Радиотехнические и телекоммуникационные системы. 2019. № 4. С. 12–18.

6. Чекушкин В.В., Юрин О.В., Булкин В.В. Реализация вычислительных процессов в информационных системах: монография. Муром. Изд.-полиграфический центр МИ ВлГУ, 2005. 158 с.

7. Каханер Д., Моулер К., Нэш С. Численные методы и программное обеспечение: пер. с англ. М.: Мир, 2001. 575 с.

8. Пат. РФ № 2015152966. Способ имитации траекторий движения объектов / Чекушкин В.В., Михеев К.В. Заявл. 09.12.2015; опублик. 21.04.2015. Бюл. № 12.

9. Выгодский М.Я. Справочник по высшей математике. М.: Наука, 1977. 872 с.

10. Чекушкин В.В., Жиганов С.Н., Быков А.А., Михеев К.В. Воспроизведение траекторий движения объектов в системах контроля воздушного пространства // Мехатроника, Автоматизация, Управление. 2018. № 2, Том 19. С. 126–133.

11. Чекушкин В.В., Жиганов С.Н. Вычислительные методы в оптимизации инженерных задач // Raleigh, North Carolina, USA: Open Science Publishing, 2018. 202 p.

### Поступила 15 сентября 2020 г.

*Исследование выполнено при финансовой поддержке Фонда содействия развитию малых форм предприятий в научно-технической сфере в рамках проекта по конкурсу УМНИК-2018 и гранта РФФИ № 19-07-01215.*

The paper describes a software and hardware complex that provides the formation of the trajectory of an air object in three-dimensional space based on Bezier curves. The trajectory of the movement was formed taking into account the permissible overloads of the air object. The complex was implemented in the Lab-view software environment.

**Key words:** trajectory, Bezier curve, best approximation polynomials.

*Кукунчиков Александр Эдуардович* – магистрант 2-го курса по направлению подготовки магистратуры 11.04.01 «Радиотехника» факультета радиоэлектроники и компьютерных систем Муромского института (филиала) ФГБОУ ВО «Владимирский государственный университет имени Александра Григорьевича и Николая Григорьевича Столетовых».

*E-mail:* kukunchikov8@yandex.ru

*Адрес:* 602264, Муром, ул. Орловская, д. 23.

*Жиганов Сергей Николаевич* – кандидат технических наук, доцент кафедры радиотехники Муромского института (филиала) ФГБОУ ВО «Владимирский государственный университет имени Александра Григорьевича и Николая Григорьевича Столетовых».

*E-mail:* s\_zh\_72@mail.ru

*Адрес:* 602264, г. Муром, ул. Орловская, 23.

*Михеев Кирилл Валерьевич* – кандидат технических наук, доцент кафедры радиотехники Муромского института (филиала) ФГБОУ ВО «Владимирский государственный университет имени Александра Григорьевича и Николая Григорьевича Столетовых».

*E-mail:* kiri-mikheev@yandex.ru

*Адрес:* 602264, г. Муром, ул. Орловская, 23.

*Жиганова Елена Александровна* – кандидат технических наук, доцент кафедры радиотехники Муромского института (филиала) ФГБОУ ВО «Владимирский государственный университет имени Александра Григорьевича и Николая Григорьевича Столетовых».

*E-mail:* zhiganovael@yandex.ru

*Адрес:* 602264, г. Муром, ул. Орловская, 23.

*Романов Дмитрий Николаевич* – кандидат технических наук, доцент кафедры радиотехники Муромского института (филиала) ФГБОУ ВО «Владимирский государственный университет имени Александра Григорьевича и Николая Григорьевича Столетовых».

*E-mail:* radon81@mail.ru

*Адрес:* 602264, г. Муром, ул. Орловская, 23.